

Fig. 9.28 – Modelli ridotti ricorrenti per il calcolo dei pilastri interni e dei pilastri di bordo di telai regolari

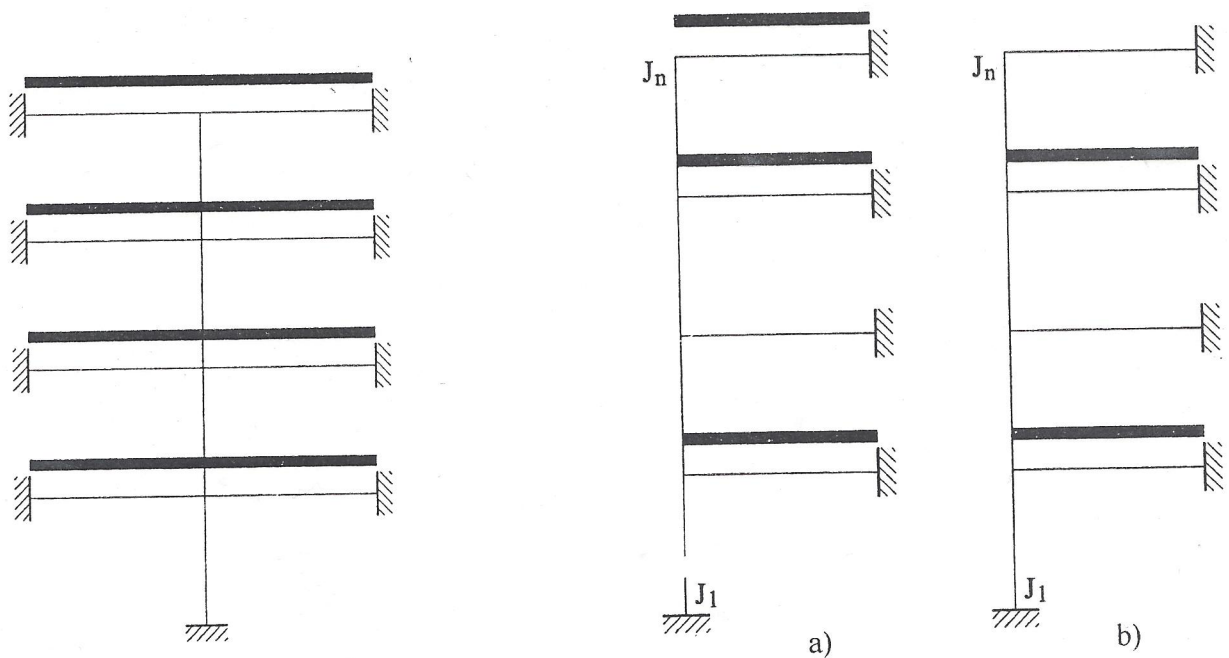


Fig. 9.29 – Schema di carico da utilizzare per ottenere le massime sollecitazioni assiali del pilastro

Fig. 9.32 – a) – Schema di carico per ottenere M_{Jn}^{max} con fibre tese a sinistra; – b) Schema di carico per ottenere M_{J1}^{max} con fibre tese a destra

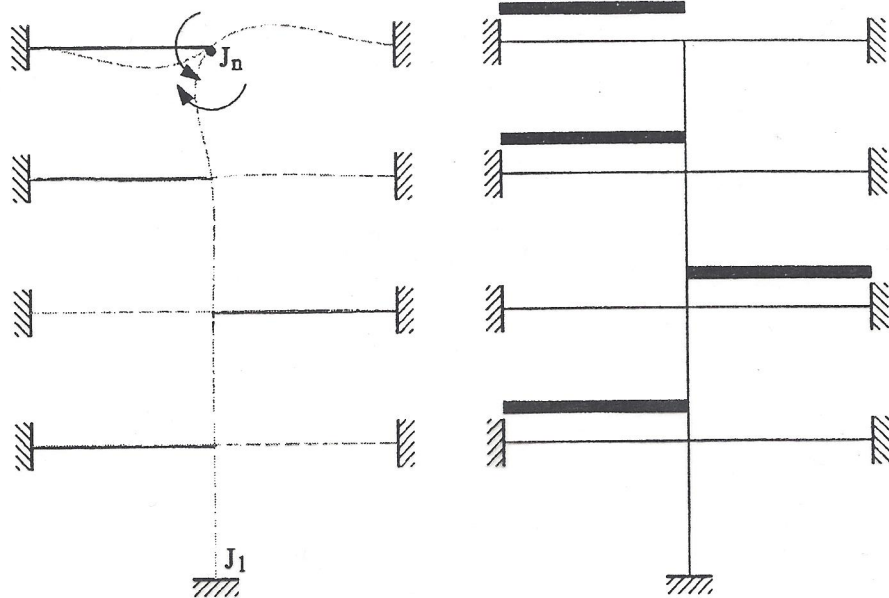
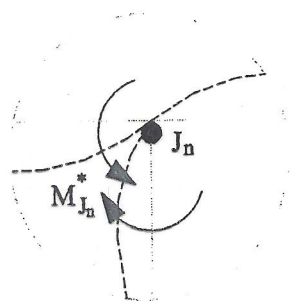


Fig. 9.30 – Linea d'influenza relativa al momento flettente che produce trazioni massime lungo le fibre di destra della sezione J_n del pilastro e relativa disposizione dei sovraccarichi accidentali sulle travi adiacenti

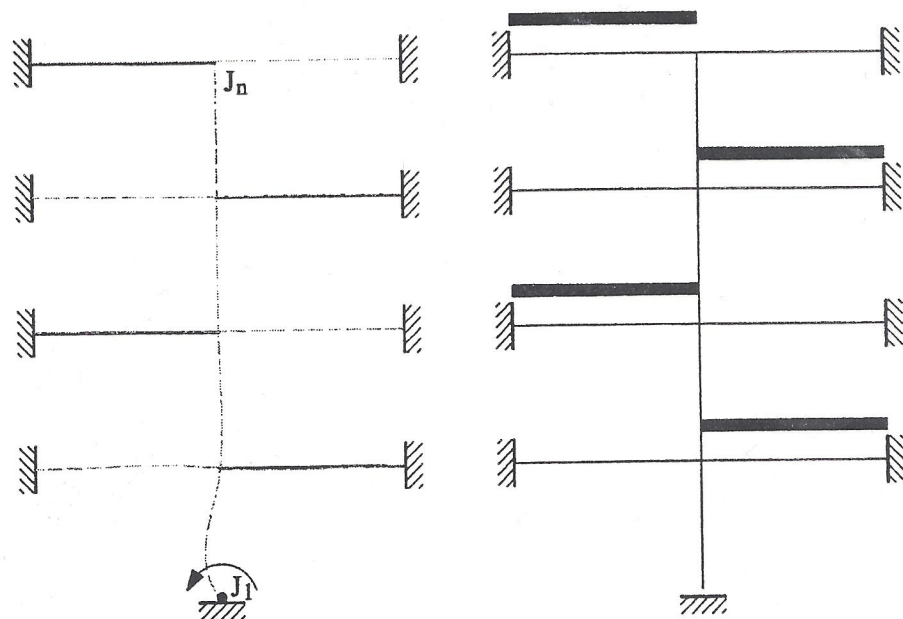
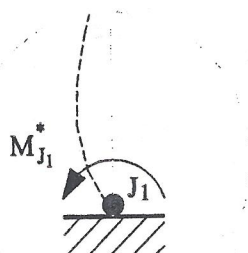
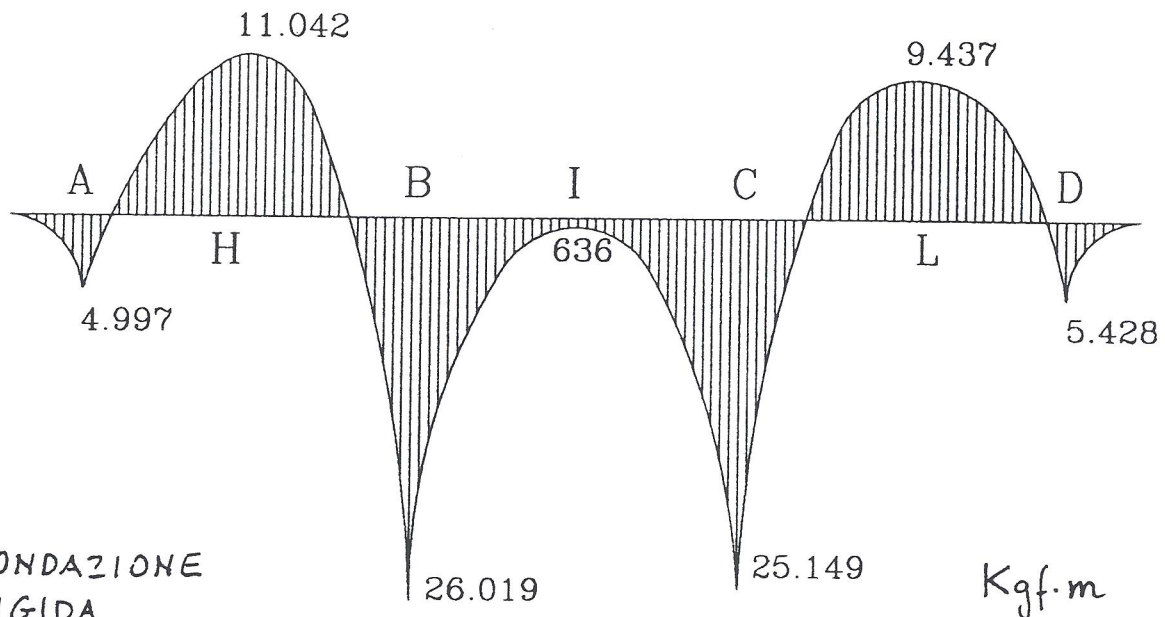
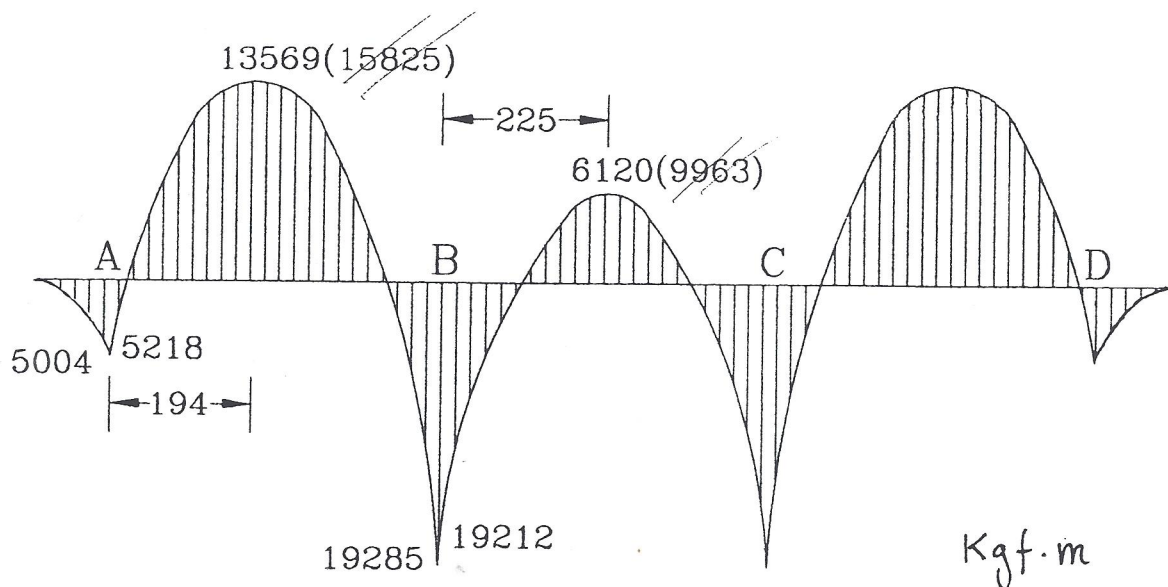


Fig. 9.31 – Linea d'influenza relativa al momento flettente che produce trazioni massime lungo le fibre di destra della sezione J_1 del pilastro e relativa disposizione dei sovraccarichi accidentali sulle travi adiacenti

CONFRONTO DEI RISULTATI:



aumentano i momenti



aumentano i momenti